

**ПРИСКОРЕННЯ ІОНІВ  $^{14}\text{N}$  НА ЦИКЛОТРОНІ У-120.  
ПЕРШІ РЕЗУЛЬТАТИ**

С. В. Адаменко<sup>1</sup>, А. Є. Борзаковський<sup>2</sup>, О. Ю. Горюнов<sup>2</sup>,  
В. І. Куц<sup>2</sup>, В. О. Рилошко<sup>2</sup>, М. Г. Толмачов<sup>1</sup>, А. А. Шведов<sup>2</sup>

<sup>1</sup> ТОВ «Фірма Т.М.М.», Київ

<sup>2</sup> Інститут ядерних досліджень НАН України, Київ

На циклотроні класичного типу У-120 Інституту ядерних досліджень НАН України освоєно новий спектрометричний режим – отримано виведений інтенсивний пучок  $^{14}\text{N}^{++}$  з енергією 8,7 MeV. З використанням часопрольотної методики отримано спектри зворотного розсіяння на різних зразках, що містять важкі елементи на поверхні легкої матриці. Показано можливість застосування такого пучка для індикації мікрокількостей важких елементів ( $10^{11}$  атом./ $\text{cm}^2$ ) на поверхні легкої матриці.

### Вступ

На циклотроні У-120 Інституту ядерних досліджень НАН України проведена робота по освоєнню режимів прискорення важких іонів. Робота виконувалась у рамках програми досліджень Електродинамічної лабораторії “Протон-21” (Київ). Метою роботи було розширення спектра частинок, які можна прискорювати, і можливостей використання циклотрона У-120 для фундаментальних досліджень та прикладних задач.

Перші роботи з прискорення важких іонів на циклотроні У-120 було виконано більш 10 років тому, коли були прискорені іони  $^{12}\text{C}$  [1] і проводилися роботи з прискорення іонів азоту та бору, які використовувалися для імплантациї у зразки. Зараз ці роботи було продовжено й отримано виведений пучок іонів  $^{14}\text{N}^{++}$  з енергією 8,7 MeV для спектрометричних задач.

Досліджувалась можливість використання циклотронних пучків такої енергії для елементного аналізу. За методом резерфордовського зворотного розсіяння (РЗР) на виведеному пучку  $^{14}\text{N}^{++}$  з використанням часопрольотної методики отримано спектри зворотного розсіяння на різних зразках. Визначено параметри пучка та методики вимірювань.

### Циклотрон У-120

Режим прискорення іонів азоту визначався мінімально необхідною перебудовою базових елементів циклотрона У-120 із збереженням можливостей повернення до режимів прискорення легких іонів.

Попередні значення параметрів базових елементів циклотрона для прискорення іонів азоту – частота генератора, величина напруги на дуантах, джерело іонів, резонансна система – визначалися з розрахунків, які наведено в роботі [2]. Розраховані значення були початковими й у процесі настроювання визначалися їхні робочі значення.

Перед зміною режимів роботи було проведено профілактику всіх систем циклотрона із заміною, де це можливо, старої елементної бази на нову. У таблиці наведено значення основних параметрів циклотрона У-120 для прискорення іонів азоту в порівнянні з прискоренням а-частинок.

Для одержання іонів азоту використовувалося стандартне іонне джерело. Як робочий газ використовувався сухий азот 99,9 % чистоти. Було випробувано два типи катодів: танталовий та вольфрамовий. Кращі результати було отримано з вольфрамовим катодом – більший іонний струм й час роботи джерела (80 год) порівняно з танталовим катодом. Танталовий катод забезпечував 30 год безупинної роботи джерела. Було виявлено, що максимальний іонний струм іонів  $^{14}\text{N}^{++}$  досягався при зменшенні напуску газу до значень 0,4 - 0,6  $\text{cm}^3/\text{хв}$ .

© С. В. Адаменко, А. Є. Борзаковський, О. Ю. Горюнов, В. І. Куц,  
В. О. Рилошко, М. Г. Толмачов, А. А. Шведов, 2005

**Режими роботи систем циклотрона У-120 при прискоренні  
α-частинок і іонів  $^{14}\text{N}^{++}$**

Параметри циклотрона	α-частинки	Іони $^{14}\text{N}$
Різниця потенціалів на дуантах, кВ	75...80	75...80
Магнітна індукція поля, Тл	1,35	1,4
Частота прискорюючого поля, МГц	10,8	9,3
Напруга горіння дуги, В	130...150	130...150
Струм дуги, А	1...2	1...2
Швидкість напуску газу в обсяг джерела (витрата газу), см <sup>3</sup> /хв	4...6	0.4...0.6
Напруга на дефлекторі, кВ	35...45	10...13
Внутрішній струм, мкА	10	5...10
Зовнішній струм, мкА	5	2...5
Струм обмоток фокусуючих лінз, А	27...30 49...52	27...30 49...52
Струм обмоток поворотного магніту, А	39...41	39...41
Енергія прискорених частинок, МeВ	27,2	8,7
Енергія на нуклон, МeВ/нуклон	6,8	0,62

Для перебудови резонатора на робочу частоту при прискоренні іонів азоту його пластини було висунуто на відстань 150 см від положення для звичайного режиму.

У середині циклотрона на вході в систему, що відхиляє пучок, було отримано струм іонів  $^{14}\text{N}^{++}$  5 - 10 мкА. Струм на виході циклотрона після дефлектора складав 3 - 5 мкА. Далі пучок фокусувався квадрупольними лінзами й через поворотний магніт та систему коліматорів попадав у центр камери розсіяння. Струм на мішені вибирається, виходячи з умов експерименту, і становив 1 - 5 нА. При цьому завантаження детектуючої системи не перевищували  $10^3$  імп./с. Форма пучка на мішені була близька до кола з діаметром 3,5 мм.

### Експеримент

Оскільки ядерні реакції на всіх елементах таблиці Менделєєва з виходом заряджених частинок під дією іонів азоту мають позитивну енергію реакції [3], то для реєстрації й ідентифікації пружно розсіяних частинок застосовувалась методика за часом прольоту [4]. У камері розсіяння на відстані 52 см від мішені було встановлено напівпровідниковий кремнієвий детектор завтовшки 300 мкм, власна роздільна здатність якого була 0,5 %. Діафрагма на детекторі була Ø3 мм. Тілесний кут становив  $\Omega = 2,6 \cdot 10^{-5}$  ср.

Сигнали від детектора подавалися на попередній підсилювач, який має як швидкий (T), так й аналоговий енергетичний (E) виходи. Сигнал зі швидкого виходу подавався на швидкий підсилювач і після швидкого формування був сигналом "старт" перетворювача "час - амплітуда". Для часової прив'язки та формування сигналу "стоп" використовувалися високочастотні імпульси напруги циклотрона У-120. З правого дуанту прискорювача через атенюатор високочастотна напруга подавалася на швидкий формувач. Сформовані імпульси через лінію затримки подавалися на вхід "стоп" перетворювача "час - амплітуда".

Перетворювач "час - амплітуда" формував аналогові сигнали A з амплітудою, що пропорційна часу прольоту частинки від мішені до детектора

$$T = T_{\text{старт}} - (T_{\text{стоп}} + T_{\text{затр.}}).$$

Важливо, що параметр T не залежить від характеристик пучка прискорювача. Далі сигнал T подавався на вхід кодувальника двомірного аналізатора, а на вхід лінійної схеми збігів подавався підсиленій сигнал з виходу E попереднього підсилювача.

Двовимірні спектри статистичної інформації накопичувалися системою MANY з використанням спектрометричного комплексу VLADO [5]. На отриманих двовимірних

спектрах вибиралися ділянки (локуси), що відповідають пружно й непружно розсіяним іонам азоту. За програмою [5] із двомірних спектрів будувалися енергетичні спектри: номер каналу – число подій, з яких було отримано енергетичні спектри зареєстрованих частинок.

Для визначення енергії іонів  $^{14}\text{N}^{++}$  було отримано спектри РЗР на мішенях із чистих металів природного складу міді, срібла, вольфраму, золота та свинцю під кутами 120, 135 і  $150^\circ$ .

Значення енергій високоенергетичних країв спектрів або піків (для тонких мішень) визначалися в порівнянні з калібриваним спектром  $\alpha$ -частинок від джерела  $^{226}\text{Ra}$ . За цими значеннями визначалася початкова енергія іонів азоту, яка з урахуванням розкиду енергії в пучку була  $E_{\text{N}}^{14\text{N}^{++}} = 8,7 \pm 0,3$  МеВ.

Двомірний спектр іонів  $^{14}\text{N}^{++}$ , пружно розсіяних на мішенні – тонкому шарі золота товщиною 300 Å, нанесеному на товстий кремній, наведено на рис. 1. Кут реєстрації  $120^\circ$ .

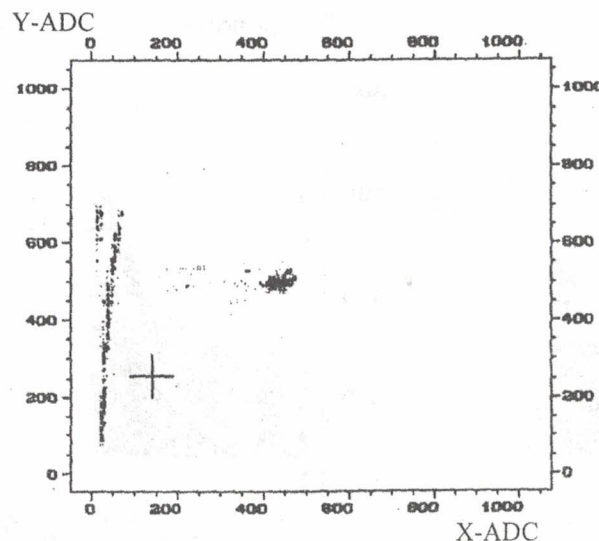


Рис. 1. Двомірний спектр пружного розсіяння іонів азоту на зразку кремнію (300 мкм) з напиленім шаром золота товщиною 300 Å. Вісь x – час прольоту T, вісь y – енергія E у каналах.

Енергетичний спектр  $^{14}\text{N}^{++}$ , отриманий із двомірного спектра рис. 1 виділенням локусу  $^{14}\text{N}^{++}$  і проекцією його на енергетичну вісь, показано на рис. 2, a графік 1. На рис. 2, б, для порівняння, наведено спектр  $\alpha$ -частинок із джерела  $^{226}\text{Ra}$ . Напівширина піка  $^{14}\text{N}^{++}$  для „тонкої” мішенні 320 кеВ. З урахуванням втрат у мішенні та детекторі енергетичний розкид пучка  $^{14}\text{N}^{++}$  був 310 кеВ або 3,6 %. Роздільна здатність по часу визначалася проекцією локусу на часову вісь й становила 2,5 нс.

Стабільність роботи в часі прискорювача та спектрометричного тракту перевірялася порівнянням отриманих у різний термін енергетичних спектрів пружного розсіяння іонів азоту на ядрах золота. Як приклад, на рис. 2, a порівнюються енергетичні спектри пружно розсіяних іонів  $^{14}\text{N}^{++}$

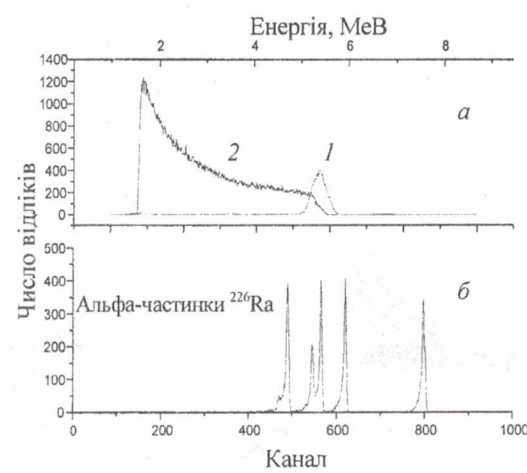


Рис. 2. Енергетичні спектри пружного розсіяння іонів азоту на „тонкому“ (1) та „товстому“ (2) золоті (a) і спектр альфа-частинок  $^{226}\text{Ra}$  (б).

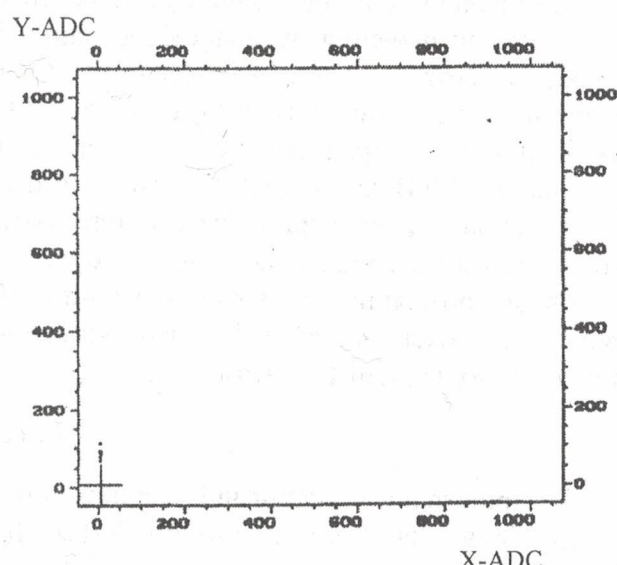


Рис. 3. Фон апаратури за 6 год експозиції. Вісь x – час прольоту T, вісь y – енергія E у каналах.

на кут  $\Theta = 120^\circ$  на "тонкому" (товщиною 300 Å) і "тovстому" золоті відповідно, які було отримано з різницею в кілька днів. Параметри пучка - енергія пучка і повна енергетична роздільна здатність - не мінялися з часом, що говорить про стабільну роботу прискорювача й спектрометричного тракту.

Для визначення фонових і шумових характеристик методики було проведено шестигодинну експозицію на пучку без мішені. Отриманий двовимірний спектр показано на рис. 3.

Як приклад роботи методики, на рис. 4 наведено двовимірні спектри пружно розсіяних іонів азоту на кут  $120^\circ$  на зразках міді, срібла та золота з експозиціями 10, 4,5 і 4 год відповідно.

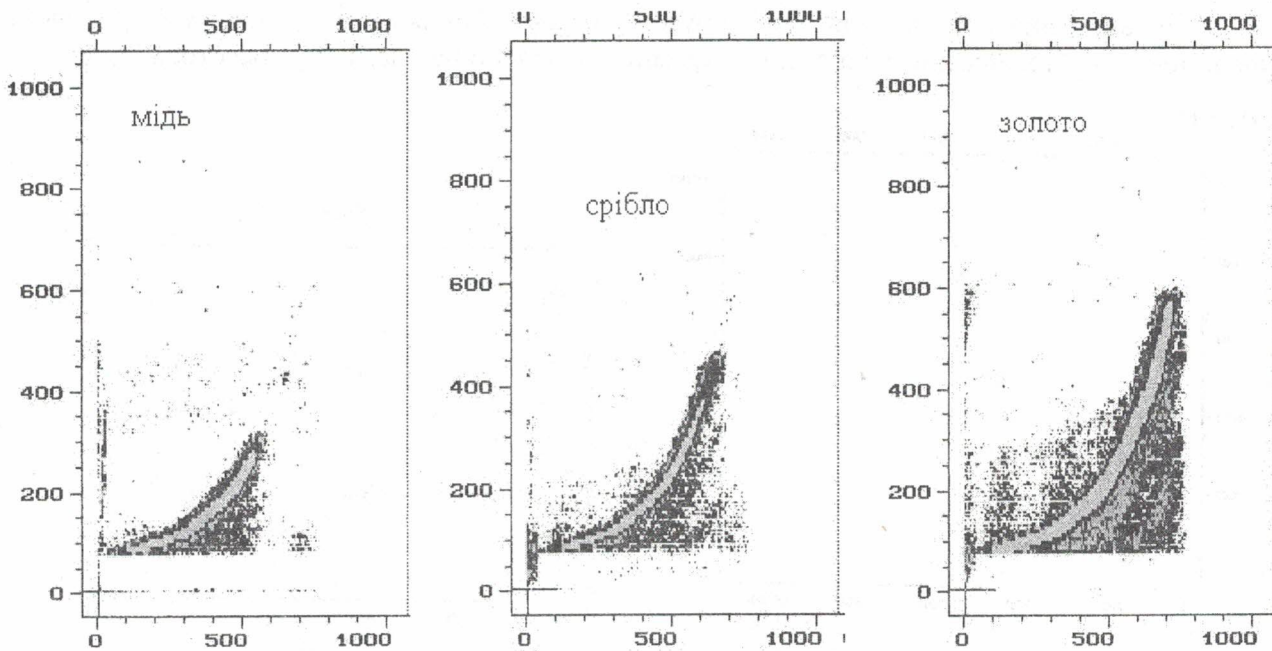


Рис. 4. Двовимірні спектри, отримані на зразках міді, срібла та золота.  
По осі  $x$  відображені енергію іонів, по осі  $y$  – час прольоту в каналах.

У межах отриманих локусів заряджених частинок досліджувались ділянки спектрів за високоенергетичним краєм, які відповідають розсіянню на атомах матеріалу зразків. На спектрах наявні події, що відповідають розсіянню на домішках елементів з масами  $\leq 208$ .

Для визначення чутливості методики було отримано спектри від зразка лавсанової плівки діаметром 2 см з внесеним у неї  $^{238}\text{Pu}$ . Вміст ізотопу  $^{238}\text{Pu}$  визначався за вимірюванням активності зразка (11 Бк) і становив  $10^{11}$  атом./ $\text{cm}^2$ . На рис. 5 показано двовимірний спектр, а на рис. 6 – енергетичний спектр пружного розсіяння іонів  $^{14}\text{N}^{++}$  з енергією 8,7 MeV на кут  $130^\circ$ . Час експозиції 7 год.

На даному спектрі добре спостерігаються піки від розсіяння іонів  $^{14}\text{N}^{++}$  на елементах, що містяться в матриці плівки, до якої було внесено  $^{238}\text{Pu}$ , та поодинокі відліки у ділянці, яка відповідає розсіянню на ядрах плутонію. Це демонструє можливість індикації методом зворотного розсіяння іонів  $^{14}\text{N}^{++}$  важких елементів, які містяться на поверхні легкої матриці зі щільністю на рівні  $10^{11}$  атом./ $\text{cm}^2$ .

## Висновки

Проведено технологічні дослідження режиму прискорення й отримано виведений пучок іонів  $^{14}\text{N}^{++}$  на циклотроні У-120 Інституту ядерних досліджень НАН України. Визначено енергію прискорених іонів  $^{14}\text{N}^{++}$  -  $E = 8,7 \pm 0,3$  MeV.

З використанням методики ідентифікації продуктів ядерних реакцій за часом прольоту методом РЗР проведено вимірювання спектрів іонів  $^{14}\text{N}^{++}$  на „тovстих” і „тонких” мішенях на кути  $\Theta_{\text{л.с}} > 120^\circ$ . Показано принципову можливість використання даного пучка

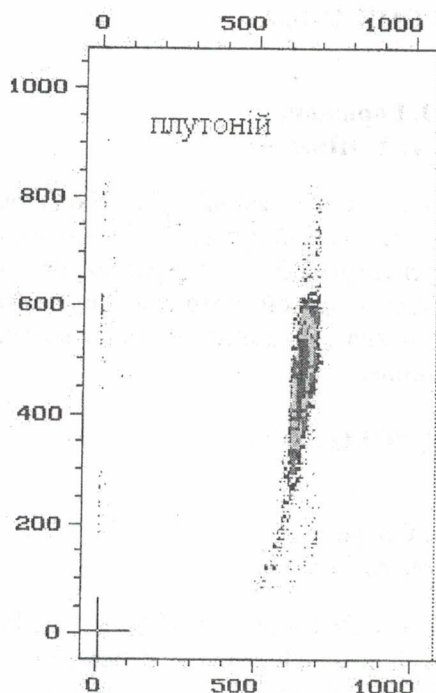


Рис. 5. Двомірний спектр зворотного розсіяння  $^{14}\text{N}^{++}$  на зразку, що містить плутоній. По осі  $x$  відображенено енергію іонів, по осі  $y$  – час прольоту в каналах.

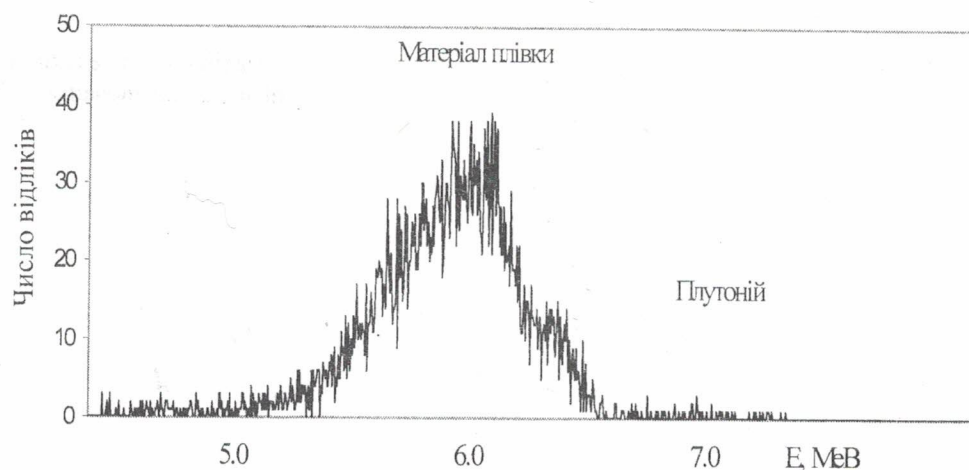


Рис. 6. Енергетичний спектр  $^{14}\text{N}^{++}$ , отриманий із двомірного спектра рис. 5.

для цілей елементного аналізу важких домішок у матриці з легких елементів. Методика дає змогу проводити індикацію важких домішок з концентрацією  $> 10^{11}$  атом./ $\text{см}^2$  на поверхні досліджуваних зразків.

#### СПИСОК ЛІТЕРАТУРИ

1. Бойко А.Н., Гранцев В.И., Продувалов Ю.С. и др. Ускорение ионов углерода на циклотроне У-120. - Киев, 1987. - 12 с. - (Препр. / АН УССР. Ин-т ядерных исслед.; КИЯИ-87-32).
2. Астрелин В.А., Сметанин Г.И. Реконструкция 120-сантиметрового циклотрона УПИ // Химия твердого тела. - Свердловск, 1984. - С.135 - 140.
3. Мухин К.Н. Экспериментальная ядерная физика. Т. 1 // Физика атомного ядра. - М.: Атомиздат, 1974. - 584 с.
4. Добриков В.Н., Шведов А.А., Барабаш Л.И. и др. Идентификация продуктов ( $d$ ,  $H$ ) и ( $\alpha$ ,  $H$ ) реакций по методу времени пролета на циклотроне У-120. - Киев, 1990. - 30 с. - (Препр. / АН УССР. Ин-т ядерных исслед.; КИЯИ-90-3).
5. Зеркин В.В. MANY – программная система интерактивной обработки ядерно-физической экспериментальной информации. - Киев, 1990. - 18 с. - (Препр. / АН УССР. Ин-т ядерных исслед.; КИЯИ-90-7).

## УСКОРЕНИЕ ИОНОВ $^{14}\text{N}$ НА ЦИКЛОТРОНЕ У-120. ПЕРВЫЕ РЕЗУЛЬТАТЫ

С. В. Адаменко, А. Е. Борзаковский, О. Ю. Горюнов,  
В. И. Кут, В. А. Рылошко, Н. Г. Толмачов, А. А. Шведов

На циклотроне классического типа У-120 Института ядерных исследований НАН Украины освоен новый спектрометрический режим – получен выведенный интенсивный пучок  $^{14}\text{N}^{++}$  с энергией 8,7 МэВ. С помощью методики по времени пролета получены спектры обратного рассеяния на различных образцах, содержащих тяжелые элементы на поверхности легкой матрицы. Показана возможность применения данного пучка для индикации содержания микротомичеств тяжелых элементов ( $10^{11}$  атом./ $\text{cm}^2$ ), находящихся на поверхности легкой матрицы.

### ACCELERATION OF $^{14}\text{N}$ IONS ON U-120 CYCLOTRON. FIRST RESULTS

S. V. Adamenko, A. E. Borzakovsky, O. Yu. Goryunov,  
V. I. Kuts, V. A. Ryloshko, N. G. Tolmachov, A. A. Shvedov

The new spectrometric regime - intensive beam of  $^{14}\text{N}^{++}$  with 8,7 MeV energy was obtained on the classic U-120 cyclotron. Back-scattering spectra on different samples with heavy elements on a surface of a light matrix were obtained with the help of time-of-flight method. The feasibility of such beam use for indication of microquantities of heavy elements ( $10^{11}$  atoms / $\text{cm}^2$ ), located on a surface of a light matrix is shown.

Надійшла до редакції 05.11.04,  
після доопрацювання – 18.01.05.